

# 1 3D-Visualisierung

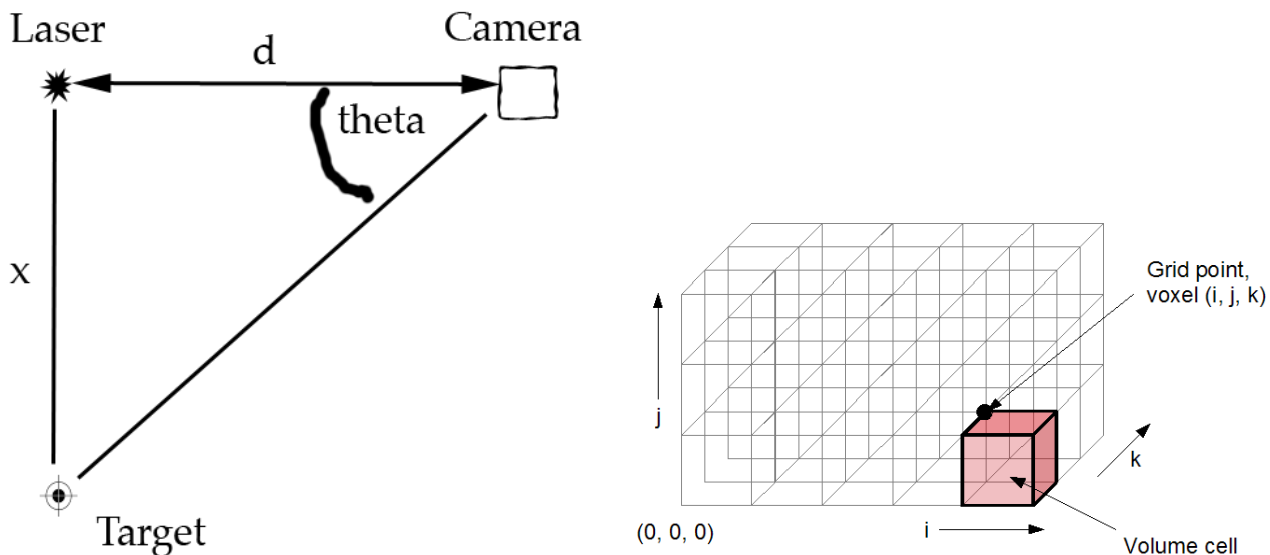
Dieses Kapitel behandelt die Grundlagen der Gewinnung, Verarbeitung und Visualisierung von 3D-Daten. Der Fokus liegt auf der Unterscheidung zwischen indirekter (Oberflächen-) und direkter (Volumen-) Visualisierung sowie den mathematischen und algorithmischen Grundlagen des Volume Renderings.

## 1.1 3D-Daten und Datengewinnung

3D-Daten bestehen aus Messwerten, die im dreidimensionalen Raum verteilt sind. Jeder Wert besitzt Koordinaten  $(x, y, z)$  und kann skalar (z. B. Dichte, Temperatur) oder höherdimensional (z. B. Vektorfelder wie Windrichtung) sein.

### Datenquellen

- **Terrain-Daten:** Höhenmessungen an Positionen  $(x, y)$ , oft ergänzt durch Satellitenbilder.
- **Laser Scanning:** Aktive Projektion eines Laserstrahls auf eine Oberfläche. Durch Triangulation (bekannter Abstand und Winkel zwischen Laser und Kamera) wird die Tiefe berechnet. Ergebnis: Unstrukturierte Punktfolle.
- **Range Images:** Bilder, bei denen jeder Pixel  $(u, v)$  eine Tiefeninformation  $r(u, v)$  speichert.
- **Medizinische Bilddaten (CT/MRI):** Messung physikalischer Eigenschaften (Protonendichte bei MRI, Gewebedichte bei CT). Die Daten liegen meist als Stapel von 2D-Schichten (*Slices*) vor, was ein reguläres 3D-Gitter bildet.
- **Simulation:** Numerische Simulationen (z. B. Wetter, Strömung), definiert auf Gittern.



## 1.2 Triangulation von Punktfolgen

Um aus unstrukturierten Punktfolgen (Menge von Punkten  $s_i = (x_i, y_i, z_i)$ ) eine visualisierbare Oberfläche zu erzeugen, ist eine Triangulation notwendig.

### 1.2.1 Planare Triangulation

Bei einfachen Oberflächen (z. B. Terrain ohne Überhänge) können Punkte auf eine 2D-Ebene projiziert, dort trianguliert und das entstehende Netz anschließend anhand der  $z$ -Werte deformiert werden.

### 1.2.2 Voronoi-Diagramm und Delaunay-Triangulation

Diese Konzepte sind fundamental für die Vernetzung von Punkten.

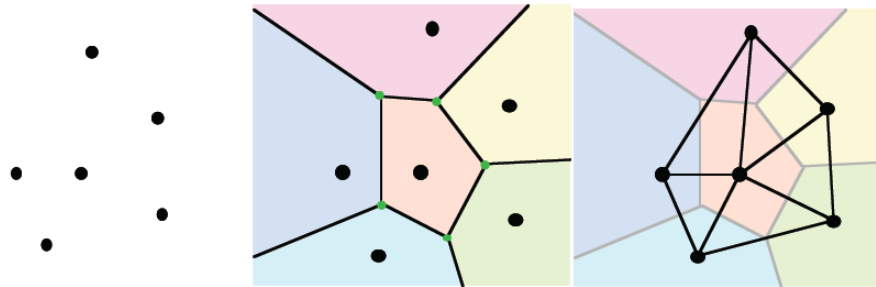
#### Voronoi-Diagramm

Für eine Menge von Punkten definiert die **Voronoi-Zelle** eines Punktes  $S_i$  den Bereich, der näher an  $S_i$  liegt als an jedem anderen Punkt der Menge. Die Kanten sind die Orte, die zu zwei Punkten den gleichen Abstand haben; Knoten haben zu mindestens drei Punkten den gleichen Abstand.

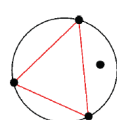
#### Delaunay-Triangulation

Der duale Graph des Voronoi-Diagramms. Verbindet die Zentren benachbarter Voronoi-Zellen.

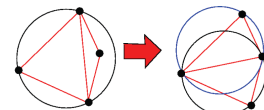
- **Leer-Kreis-Eigenschaft:** Der Umkreis eines jeden Dreiecks in einer Delaunay-Triangulation enthält keine anderen Punkte der Punktmenge.
- **Maximierung der kleinen Winkel:** Vermeidet schmale, langgestreckte Dreiecke (“Sliver Polygons”), was für die numerische Stabilität und das Rendering vorteilhaft ist.



Voronoi-Parkettierung (Tesselation) → Voronoi-Diagramm → Delaunay-Triangulation



nicht erlaubt



Korrektur der Delaunay-Triangulation durch Umdrehen der Kanten („Edge Flipping“):

### 1.3 Indirekte Volumenvisualisierung (Oberflächenrendering)

Bei der indirekten Visualisierung wird aus den Volumendaten eine explizite geometrische Zwischenrepräsentation (meist Polygone) extrahiert.

#### 1.3.1 Isoflächen (Isosurfaces)

Analog zu Konturlinien in 2D (Linien gleicher Höhe) sind Isoflächen in 3D Trennflächen zwischen Strukturen unterschiedlicher Dichte. Eine Isofläche ist definiert durch die implizite Gleichung:

$$i(x) = V(x) - \tau = 0$$

wobei  $V(x)$  der Voxelwert und  $\tau$  der Isowert (Schwellenwert) ist.

#### 1.3.2 Marching Cubes Algorithmus

Der Standardalgorithmus zur Extraktion von Isoflächen aus Gitterdaten.

1. Betrachte eine logische Volumenzelle, gebildet durch 8 Voxel-Nachbarn.
2. Klassifiziere jeden Eckpunkt als “innen” ( $V \geq \tau$ ) oder “außen” ( $V < \tau$ ).
3. Dies ergibt  $2^8 = 256$  mögliche Konfigurationen.
4. Unter Ausnutzung von Symmetrien (Rotation, Invertierung) Reduktion auf 15 Basisfälle.
5. Generiere Dreiecke basierend auf der Konfiguration (Interpolation der Schnittpunkte auf den Kanten).

Das 2D-Äquivalent hierzu ist der **Marching Squares** Algorithmus (4 Pixel, 16 Fälle).

### 1.3.3 Optimierung der Rendering-Pipeline

Da Marching Cubes extrem viele Dreiecke erzeugen kann, sind Optimierungen notwendig:

- **Culling:** Entfernen nicht sichtbarer Geometrie.
  - *Backface-Culling:* Rückseiten ignorieren.
  - *View-Frustum-Culling:* Außerhalb des Sichtbereichs ignorieren.
  - *Occlusion-Culling:* Verdeckte Objekte ignorieren.
- **Meshreduktion:** Vereinfachung des Netzes durch Zusammenfassen von Polygonen in flachen Bereichen, um die Anzahl der Primitive zu senken.
- **Mesh-Glättung:** Entfernung von Artefakten und Rauschen (z. B. Laplacesche Glättung), wobei darauf geachtet werden muss, das Volumen nicht zu stark zu verfälschen (“Shrinking”).

## 1.4 Direkte Volumenvisualisierung (Volume Rendering)

Im Gegensatz zur indirekten Methode wird hier keine Geometrie erzeugt. Das Bild wird direkt aus den Voxeldaten berechnet, indem physikalische Lichtinteraktion simuliert wird.

### 1.4.1 Physikalisches Modell: Density Emitter Model

Das Volumen wird als halbtransparente Wolke betrachtet, die Licht sowohl emittiert (leuchtet) als auch absorbiert (abschwächt).

### 1.4.2 Volumen-Rendering-Gleichung

Die Intensität  $I(s)$  entlang eines Sichtstrahls berechnet sich aus dem Hintergrundlicht  $I_{s_0}$ , das durch das Volumen abgeschwächt wird, und dem kumulierten Licht, das von den Voxeln entlang des Strahls emittiert und wiederum abgeschwächt wird.

#### Integralform

$$I(s) = I_{s_0} \cdot e^{-\int_{s_0}^S \tau(t) dt} + \int_{s_0}^S Q(\tilde{s}) \cdot e^{-\int_{\tilde{s}}^S \tau(t) dt} ds$$

- $\tau(t)$ : Optische Dichte (Absorptionskoeffizient).
- $Q(\tilde{s})$ : Emission (Leuchtkraft) an der Stelle  $\tilde{s}$ .
- Der Exponentialterm beschreibt die Transparenz (Transmission) über eine Strecke.

### 1.4.3 Diskrete Näherung und Ray Casting Pipeline

Für die computergrafische Umsetzung wird das Integral durch eine Summe approximiert (Ray Casting). Der Strahl wird in Segmente  $\Delta s$  unterteilt.

$$I(S) \approx I_0 \prod_{k=0}^{n-1} t_k + \sum_{k=0}^{n-1} \left( Q_k \cdot \Delta s \cdot \prod_{j=k+1}^{n-1} t_j \right)$$

Hierbei ist  $t_k = e^{-\tau_k \Delta s}$  die Transparenz des  $k$ -ten Segments. Die Pipeline besteht aus vier Schritten:

**1. Abtastung (Sampling):** Entlang des Sichtstrahls werden Werte in Abständen  $\Delta s$  genommen. Da diese Positionen meist nicht exakt auf Voxelzentren fallen, ist **Interpolation** nötig:

- *Nearest Neighbor*: Blockartige Artefakte, schnell.
- *Trilinear*: Glatter, Standardverfahren (interpoliert in x, y, z Richtung).
- *Shannon-Theorem*: Die Abtastrate muss hoch genug sein (Nyquist-Frequenz), um Aliasing-Artefakte zu vermeiden ( $\Delta s < 0.5 \times$  Voxelgröße).

**2. Klassifikation und Beleuchtung (Shading):** Den interpolierten Skalarwerten müssen optische Eigenschaften zugeordnet werden.

- **Transferfunktionen**: Bilden Dichtewerte auf Farbe ( $Q$ ) und Opazität/Transparenz ( $t$ ) ab.
  - *Farbtransferfunktion*: Ordnet Farbe zu (z. B. Knochen = weiß, Muskel = rot).
  - *Opazitättransferfunktion*: Bestimmt Sichtbarkeit (z. B. Luft = transparent).
- **Shading**: Um 3D-Strukturen besser erkennbar zu machen, wird eine Beleuchtung simuliert (z. B. Phong-Shading). Der Normalenvektor für das Shading wird meist aus dem Gradienten der Voxeldaten berechnet.

**3. Komposition (Compositing):** Das Aufsummieren der Farb- und Opazitätswerte entlang des Strahls.

#### Back-to-Front vs. Front-to-Back

- **Back-to-Front** (vom Hintergrund zum Auge): Ähnlich dem Painter's Algorithm.

$$I_k = I_{k-1} \cdot t_k + C_k$$

wobei  $C_k$  der emittierte Farbanteil ist.

- **Front-to-Back** (vom Auge zum Hintergrund): Ermöglicht Optimierung. Man muss Intensität  $I$  und akkumulierte Transparenz  $\tau$  tracken.

$$I_{k+1} = I_k + C_{k+1} \cdot \tau_k$$

$$\tau_{k+1} = \tau_k \cdot t_{k+1}$$

- **Early Ray Termination**: Wichtige Optimierung bei Front-to-Back. Wenn die akkumulierte Opazität fast 100% erreicht (Transparenz  $\approx 0$ ), kann der Strahl abgebrochen werden, da dahinterliegende Voxel nicht mehr sichtbar sind.